

στρώσεις εδάφους, εδαφικό προφίλ

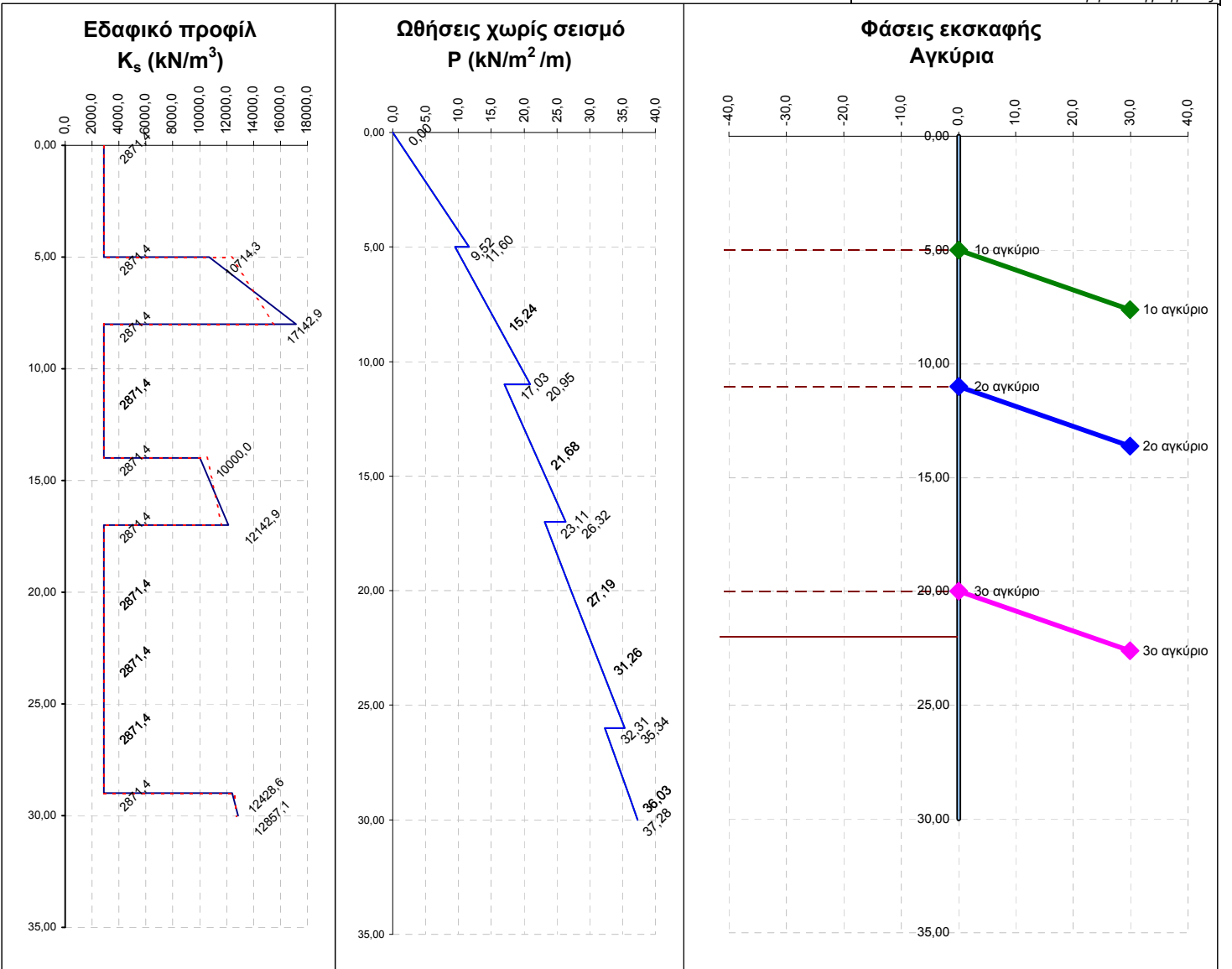
1 σκυρόδεμα[1] χάλυβας[2]

α/α	πάχος	βάθος (z)	Cu (kPa)	n (MPa)	συνεκτικό[1]		φ (°)	γ (kN/m ³)	K _A	K _P	K _{AE}
					μη συν.[2]						
		0,00									
1	5,00	5,00	150,0		1	25,0	20,0	0,406	2,464	0,524	
2	3,00	8,00	150,0	7,5	2	30,0	20,0	0,333	3,000	0,441	
3	3,00	11,00	150,0		1	30,0	20,0	0,333	3,000	0,441	
4	3,00	14,00	150,0		1	35,0	20,0	0,271	3,690	0,373	
5	3,00	17,00	150,0	2,5	2	35,0	20,0	0,271	3,690	0,373	
6	3,00	20,00	150,0		1	38,0	20,0	0,238	4,204	0,338	
7	3,00	23,00	150,0		1	38,0	20,0	0,238	4,204	0,338	
8	3,00	26,00	150,0		1	38,0	20,0	0,238	4,204	0,338	
9	3,00	29,00	150,0		1	40,0	20,0	0,217	4,599	0,316	
10	1,00	30,00	150,0	1,5	2	40,0	20,0	0,217	4,599	0,316	

E _C = 28847,6 MPa	μέτρο ελαστ. σκυροδ.
B= 3,500 m	απόσταση αγκυρίων
H= 0,800 m	πάχος διαφράγματος
E _S = 200000,0 MPa	μέτρο ελαστ. χάλυβα
I = 0,0004500 m ⁴ /m	ροπή αδρ. ανά μέτρο πλάτους
L= 30,000 m	μήκος διαφράγματος
ρ= 2,0 KN/m ²	φορτίο στέψης
f _{ck} = 20 MPa	ποιότητα σκυροδέματος
f _{yk} = 0,26 MPa	αντοχή σε διάτμηση
f _{ctm} = 2,20 MPa	μέση αντοχή σε εφελκυσμό
F _{ελαστ} = 82000,0 KN/m	δυσκαμψία εδάφους
e= 0,050 m	επικάλυψη
f _{yk} = 235 MPa	ποιότητα χάλυβα
f _{pk} = 1770 MPa	ποιότητα χάλυβα αγκυρίων
f _{ρ0.1k} = 1500 MPa	
α ₁ = 140 mm ²	εμβαδό συρματόσχοινου
K ₁ = 2	πλήθος συρματόσχ. 1ου αγκυρ.
K ₂ = 2	πλήθος συρματόσχ. 2ου αγκυρ.
K ₃ = 2	πλήθος συρματόσχ. 3ου αγκυρ.

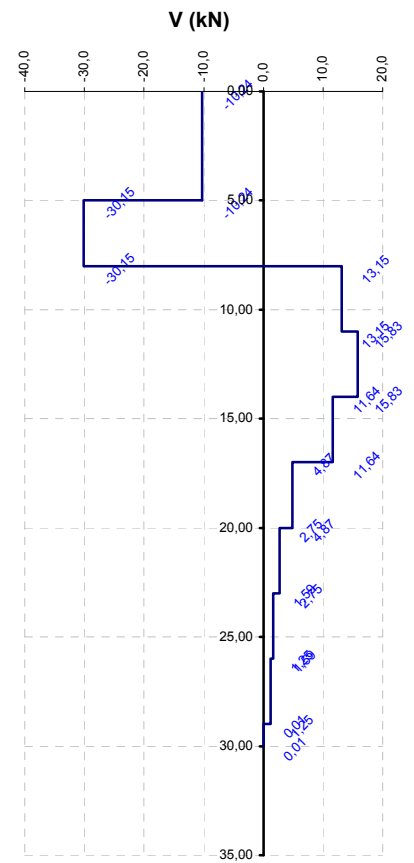
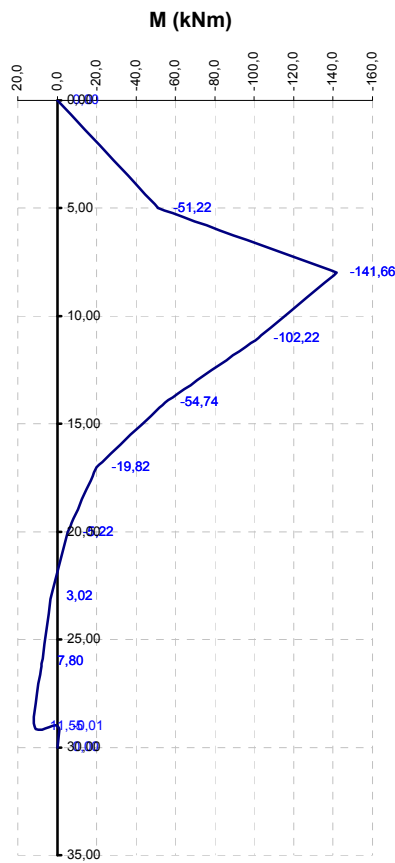
Τιμές της σταθεράς n για άμμους (Terzaghi, 1955)			
Σχετική πυκνότητα	Χαλαρή	Μέση	Πυκνή
Άμμος ξηρή ή υγρή (MN/m ³)	2,5	7,5	20
Άμμος υπό άνωση (MN/m ³)	1,4	5	12

α= 0,16 g	σεισμικός συντελεστής
EI= 4307908 KNm ²	ακαμψία διαφράγματος

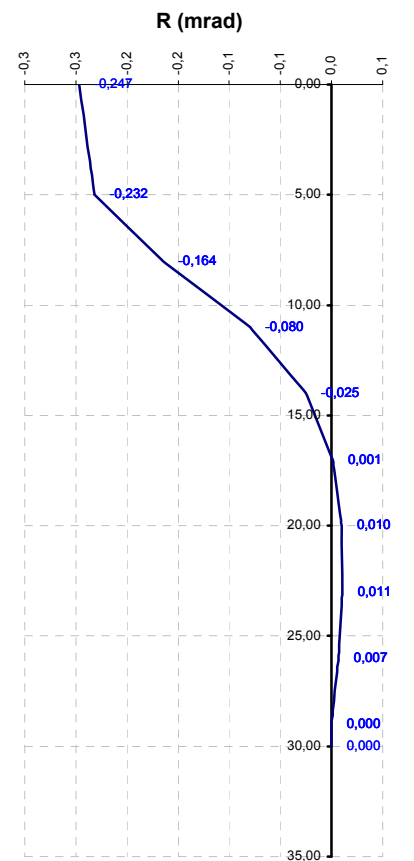
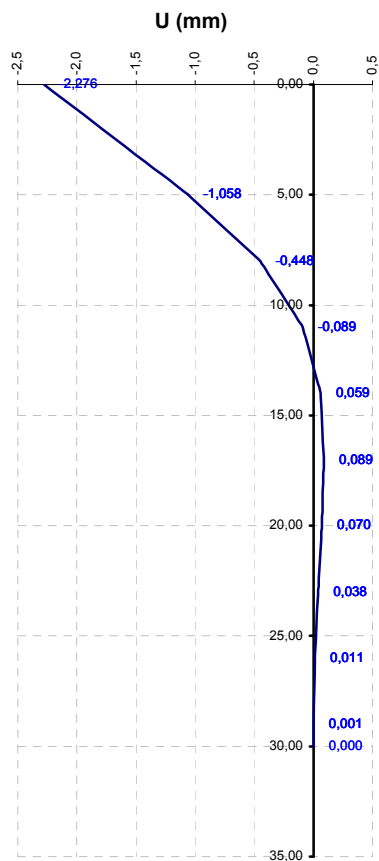


Εντατικά μεγέθη διαφράγματος για την 1η φάση εκσκαφής

	z (m)	M (kNm)	V (kN)
1π	0,00	0,00	-10,24
1κ	5,00	-51,22	-10,24
2π	5,00	-51,22	-30,15
2κ	8,00	-141,66	-30,15
3π	8,00	-141,66	13,15
3κ	11,00	-102,22	13,15
4π	11,00	-102,22	15,83
4κ	14,00	-54,74	15,83
5π	14,00	-54,74	11,64
5κ	17,00	-19,82	11,64
6π	17,00	-19,82	4,87
6κ	20,00	-5,22	4,87
7π	20,00	-5,22	2,75
7κ	23,00	3,02	2,75
8π	23,00	3,02	1,59
8κ	26,00	7,80	1,59
9π	26,00	7,80	1,25
9κ	29,00	11,55	1,25
10π	29,00	-0,01	0,01
10κ	30,00	0,00	0,01

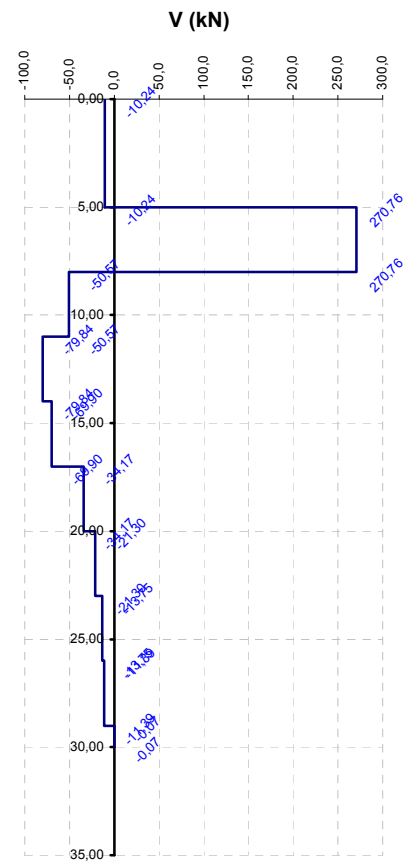
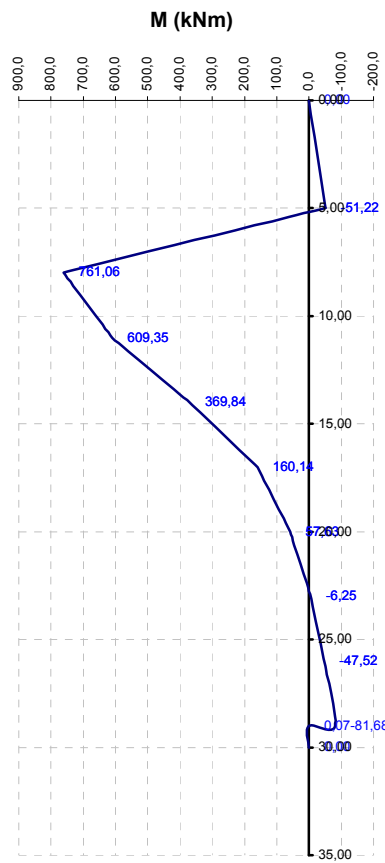


1η φ. εκ.	z= 5,00 m		
	z (m)	U (mm)	R (mrad)
1π	0,00	-2,276	-0,247
1κ	5,00	-1,058	-0,232
2π	5,00	-1,058	-0,232
2κ	8,00	-0,448	-0,164
3π	8,00	-0,448	-0,164
3κ	11,00	-0,089	-0,080
4π	11,00	-0,089	-0,080
4κ	14,00	0,059	-0,025
5π	14,00	0,059	-0,025
5κ	17,00	0,089	0,001
6π	17,00	0,089	0,001
6κ	20,00	0,070	0,010
7π	20,00	0,070	0,010
7κ	23,00	0,038	0,011
8π	23,00	0,038	0,011
8κ	26,00	0,011	0,007
9π	26,00	0,011	0,007
9κ	29,00	0,001	0,000
10π	29,00	0,001	0,000
10κ	30,00	0,000	0,000



Εντατικά μεγέθη διαφράγματος για την 1η φάση τάνυσης

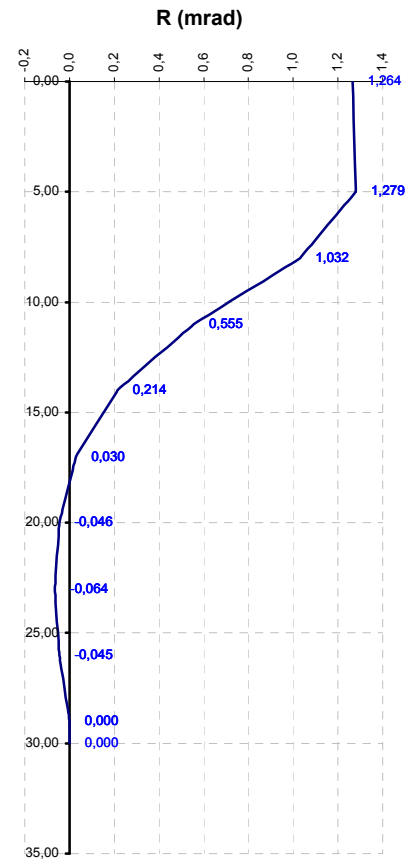
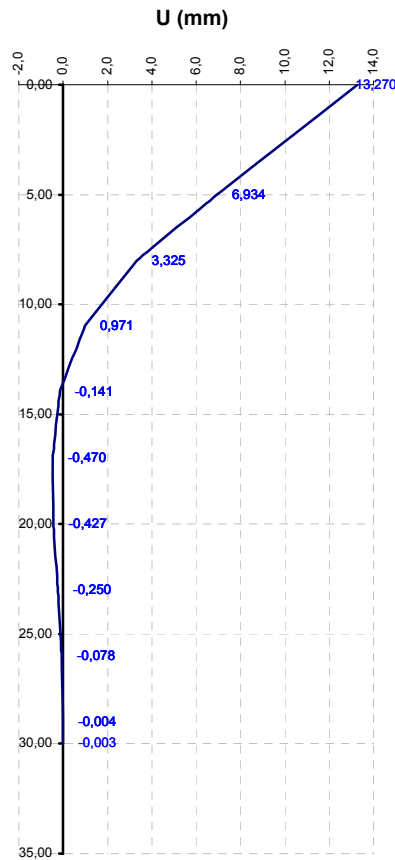
	z (m)	M (kNm)	V (kN)
1π	0,00	0,00	-10,24
1κ	5,00	-51,22	-10,24
2π	5,00	-51,22	270,76
2κ	8,00	761,06	270,76
3π	8,00	761,06	-50,57
3κ	11,00	609,35	-50,57
4π	11,00	609,35	-79,84
4κ	14,00	369,84	-79,84
5π	14,00	369,84	-69,90
5κ	17,00	160,14	-69,90
6π	17,00	160,14	-34,17
6κ	20,00	57,63	-34,17
7π	20,00	57,63	-21,30
7κ	23,00	-6,25	-21,30
8π	23,00	-6,25	-13,75
8κ	26,00	-47,52	-13,75
9π	26,00	-47,52	-11,39
9κ	29,00	-81,68	-11,39
10π	29,00	0,07	-0,07
10κ	30,00	0,00	-0,07



φορτίο 1ου	F=	327,89 kN
φορτίο 2ου	F=	0,00 kN
φορτίο 3ου	F=	0,00 kN

1η φ. τ.	z=	5,00 m
----------	----	--------

	z (m)	U (mm)	R (mrad)
1π	0,00	13,270	1,264
1κ	5,00	6,934	1,279
2π	5,00	6,934	1,279
2κ	8,00	3,325	1,032
3π	8,00	3,325	1,032
3κ	11,00	0,971	0,555
4π	11,00	0,971	0,555
4κ	14,00	-0,141	0,214
5π	14,00	-0,141	0,214
5κ	17,00	-0,470	0,030
6π	17,00	-0,470	0,030
6κ	20,00	-0,427	-0,046
7π	20,00	-0,427	-0,046
7κ	23,00	-0,250	-0,064
8π	23,00	-0,250	-0,064
8κ	26,00	-0,078	-0,045
9π	26,00	-0,078	-0,045
9κ	29,00	-0,004	0,000
10π	29,00	-0,004	0,000
10κ	30,00	-0,003	0,000



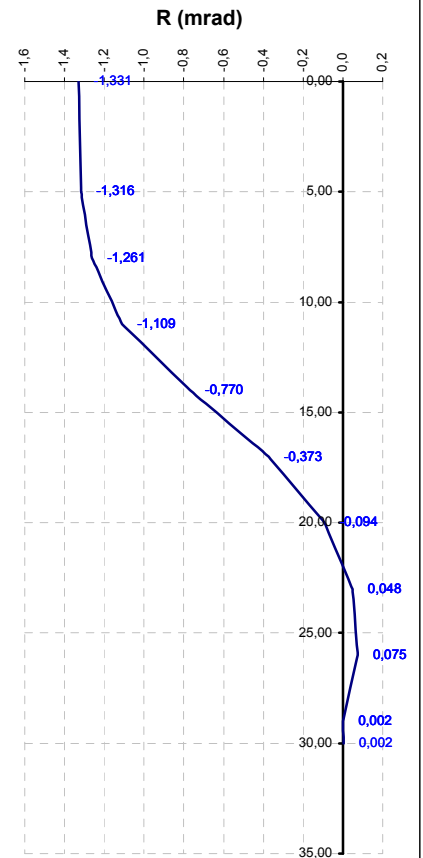
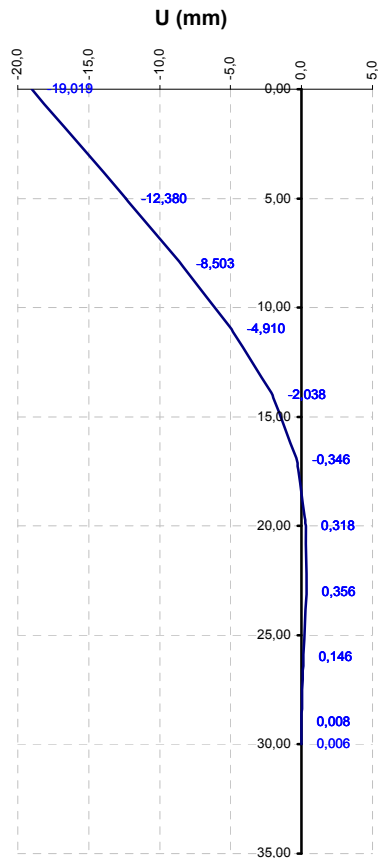
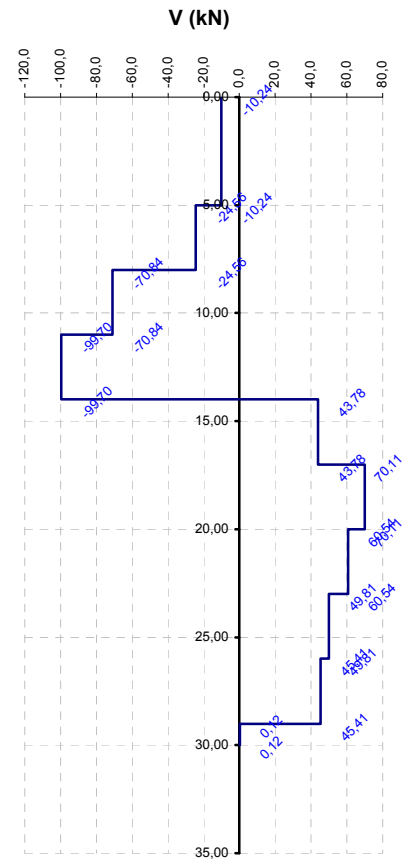
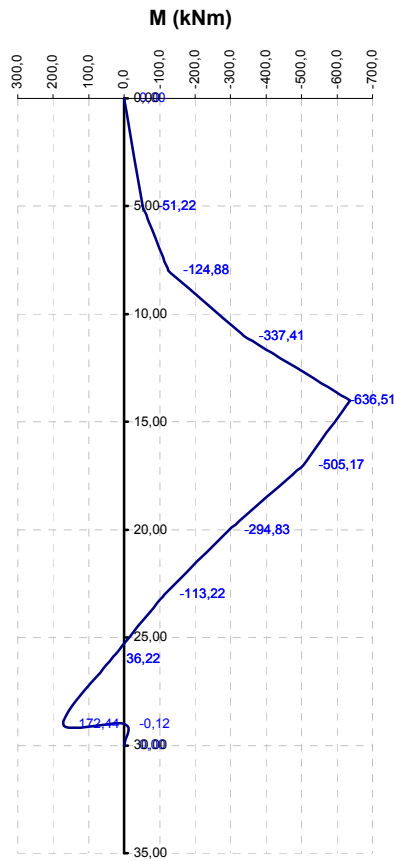
Εντατικά μεγέθη διαφράγματος για την 2η φάση εκσκαφής

	z (m)	M (kNm)	V (kN)
1π	0,00	0,00	-10,24
1κ	5,00	-51,22	-10,24
2π	5,00	-51,22	-24,56
2κ	8,00	-124,88	-24,56
3π	8,00	-124,88	-70,84
3κ	11,00	-337,41	-70,84
4π	11,00	-337,41	-99,70
4κ	14,00	-636,51	-99,70
5π	14,00	-636,51	43,78
5κ	17,00	-505,17	43,78
6π	17,00	-505,17	70,11
6κ	20,00	-294,83	70,11
7π	20,00	-294,83	60,54
7κ	23,00	-113,22	60,54
8π	23,00	-113,22	49,81
8κ	26,00	36,22	49,81
9π	26,00	36,22	45,41
9κ	29,00	172,44	45,41
10π	29,00	-0,12	0,12
10κ	30,00	0,00	0,12

φορτίο 1ου	F=	291,98 kN
φορτίο 2ου	F=	0,00 kN
φορτίο 3ου	F=	0,00 kN

2η φ. εκ.	z=	11,00 m
-----------	----	---------

	z (m)	U (mm)	R (mrad)
1π	0,00	-19,019	-1,331
1κ	5,00	-12,380	-1,316
2π	5,00	-12,380	-1,316
2κ	8,00	-8,503	-1,261
3π	8,00	-8,503	-1,261
3κ	11,00	-4,910	-1,109
4π	11,00	-4,910	-1,109
4κ	14,00	-2,038	-0,770
5π	14,00	-2,038	-0,770
5κ	17,00	-0,346	-0,373
6π	17,00	-0,346	-0,373
6κ	20,00	0,318	-0,094
7π	20,00	0,318	-0,094
7κ	23,00	0,356	0,048
8π	23,00	0,356	0,048
8κ	26,00	0,146	0,075
9π	26,00	0,146	0,075
9κ	29,00	0,008	0,002
10π	29,00	0,008	0,002
10κ	30,00	0,006	0,002



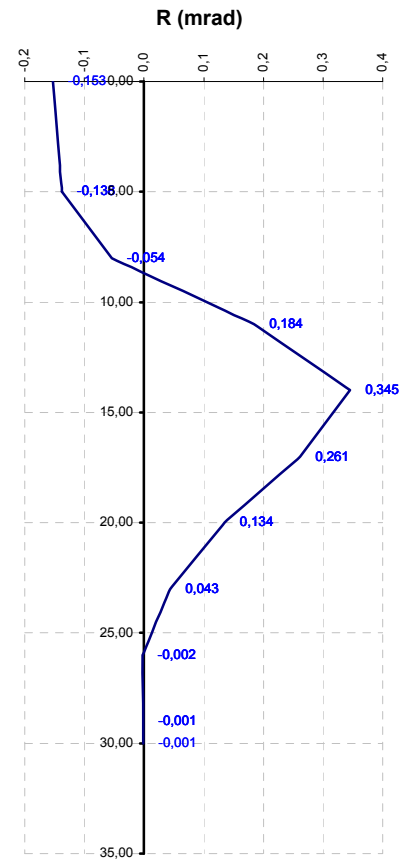
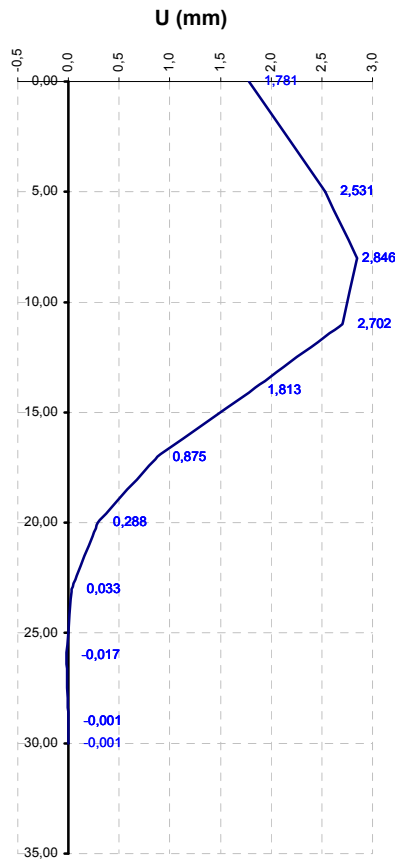
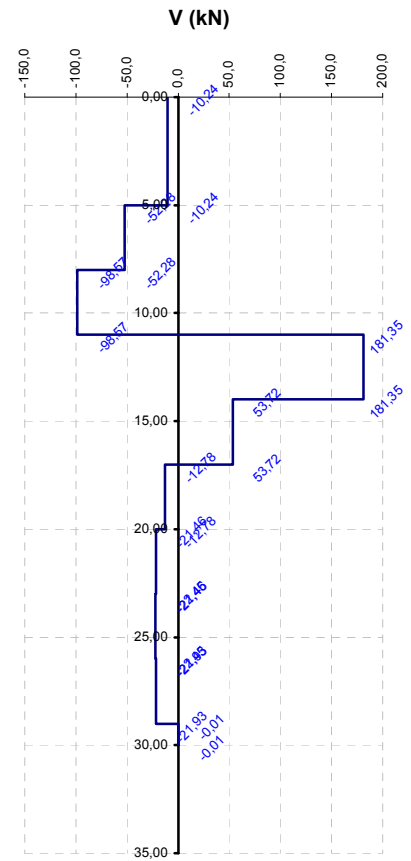
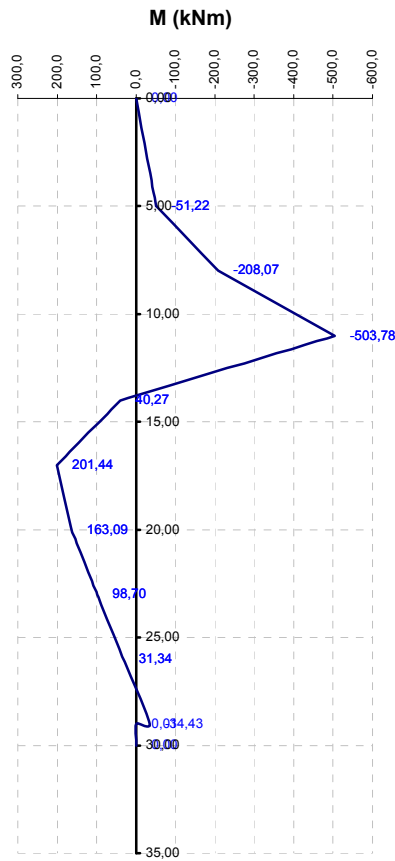
Εντατικά μεγέθη διαφράγματος για την 2η φάση τάνυσης

	z (m)	M (kNm)	V (kN)
1π	0,00	0,00	-10,24
1κ	5,00	-51,22	-10,24
2π	5,00	-51,22	-52,28
2κ	8,00	-208,07	-52,28
3π	8,00	-208,07	-98,57
3κ	11,00	-503,78	-98,57
4π	11,00	-503,78	181,35
4κ	14,00	40,27	181,35
5π	14,00	40,27	53,72
5κ	17,00	201,44	53,72
6π	17,00	201,44	-12,78
6κ	20,00	163,09	-12,78
7π	20,00	163,09	-21,46
7κ	23,00	98,70	-21,46
8π	23,00	98,70	-22,45
8κ	26,00	31,34	-22,45
9π	26,00	31,34	-21,93
9κ	29,00	-34,43	-21,93
10π	29,00	0,01	-0,01
10κ	30,00	0,00	-0,01

φορτίο 1ου	F=	319,71 kN
φορτίο 2ου	F=	320,03 kN
φορτίο 3ου	F=	0,00 kN

2η φ. τ.	z=	11,00 m
----------	----	---------

	z (m)	U (mm)	R (mrad)
1π	0,00	1,781	-0,153
1κ	5,00	2,531	-0,138
2π	5,00	2,531	-0,138
2κ	8,00	2,846	-0,054
3π	8,00	2,846	-0,054
3κ	11,00	2,702	0,184
4π	11,00	2,702	0,184
4κ	14,00	1,813	0,345
5π	14,00	1,813	0,345
5κ	17,00	0,875	0,261
6π	17,00	0,875	0,261
6κ	20,00	0,288	0,134
7π	20,00	0,288	0,134
7κ	23,00	0,033	0,043
8π	23,00	0,033	0,043
8κ	26,00	-0,017	-0,002
9π	26,00	-0,017	-0,002
9κ	29,00	-0,001	-0,001
10π	29,00	-0,001	-0,001
10κ	30,00	-0,001	-0,001



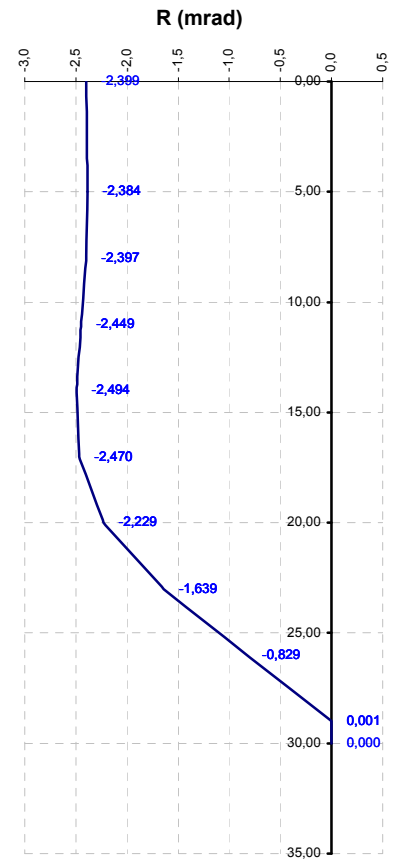
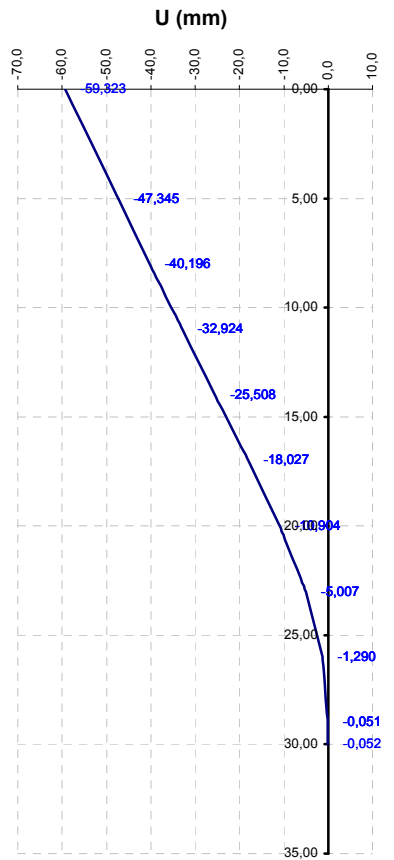
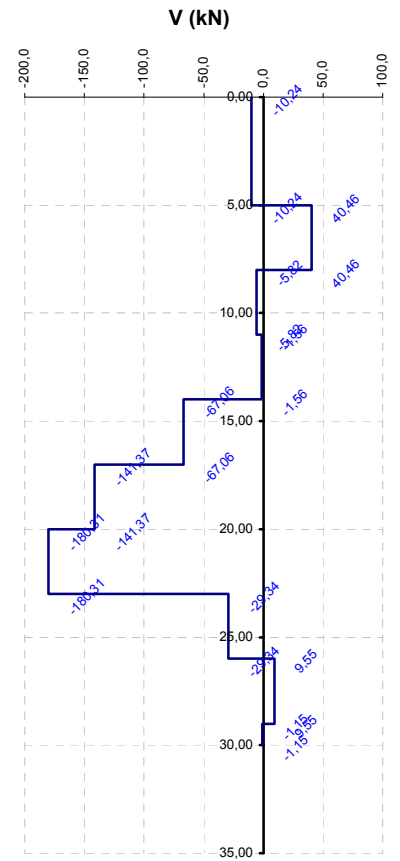
Εντατικά μεγέθη διαφράγματος για την 3η φάση εκσκαφής

	z (m)	M (kNm)	V (kN)
1π	0,00	0,00	-10,24
1κ	5,00	-51,22	-10,24
2π	5,00	-51,22	40,46
2κ	8,00	70,17	40,46
3π	8,00	70,17	-5,82
3κ	11,00	52,70	-5,82
4π	11,00	52,70	-1,56
4κ	14,00	48,02	-1,56
5π	14,00	48,02	-67,06
5κ	17,00	-153,17	-67,06
6π	17,00	-153,17	-141,37
6κ	20,00	-577,27	-141,37
7π	20,00	-577,27	-180,31
7κ	23,00	-1118,20	-180,31
8π	23,00	-1118,20	-29,34
8κ	26,00	-1206,21	-29,34
9π	26,00	-1206,21	9,55
9κ	29,00	-1177,56	9,55
10π	29,00	1,15	-1,15
10κ	30,00	0,00	-1,15

φορτίο 1ου	F=	226,96 kN
φορτίο 2ου	F=	253,78 kN
φορτίο 3ου	F=	0,00 kN

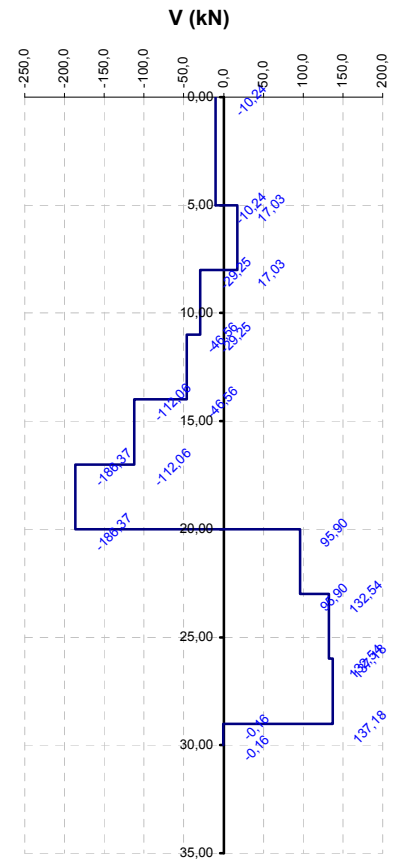
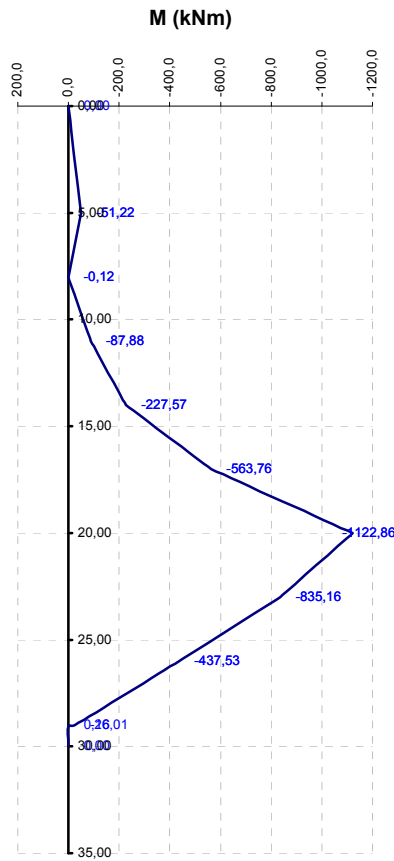
3η φ. εκ.	z=	20,00 m
-----------	----	---------

	z (m)	U (mm)	R (mrad)
1π	0,00	-59,323	-2,399
1κ	5,00	-47,345	-2,384
2π	5,00	-47,345	-2,384
2κ	8,00	-40,196	-2,397
3π	8,00	-40,196	-2,397
3κ	11,00	-32,924	-2,449
4π	11,00	-32,924	-2,449
4κ	14,00	-25,508	-2,494
5π	14,00	-25,508	-2,494
5κ	17,00	-18,027	-2,470
6π	17,00	-18,027	-2,470
6κ	20,00	-10,904	-2,229
7π	20,00	-10,904	-2,229
7κ	23,00	-5,007	-1,639
8π	23,00	-5,007	-1,639
8κ	26,00	-1,290	-0,829
9π	26,00	-1,290	-0,829
9κ	29,00	-0,051	0,001
10π	29,00	-0,051	0,001
10κ	30,00	-0,052	0,000



Εντατικά μεγέθη διαφράγματος για την 3η φάση τάνυσης

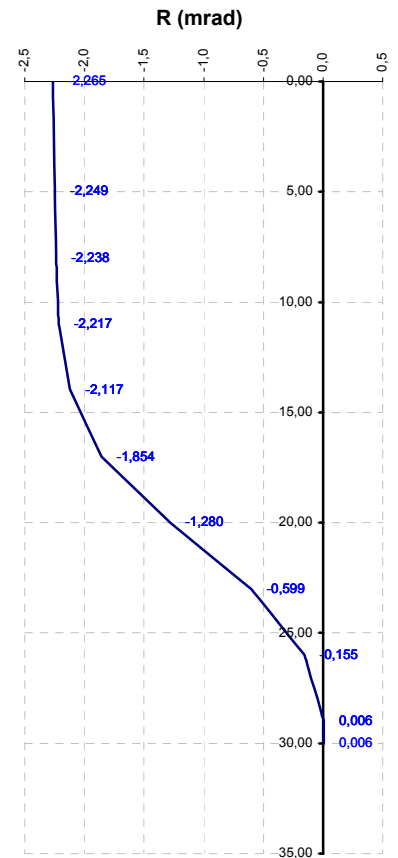
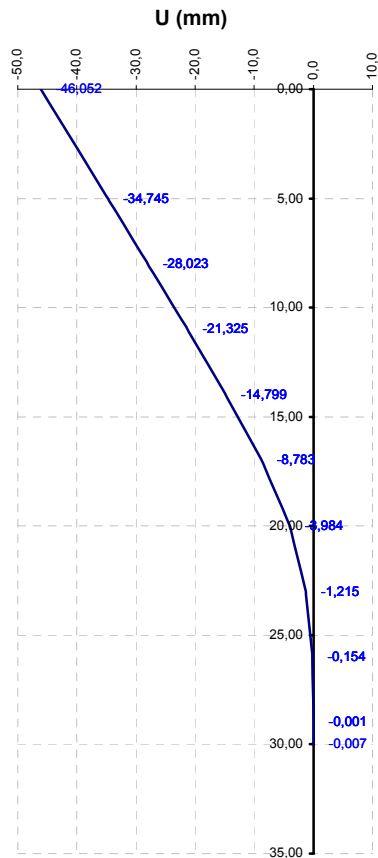
	z (m)	M (kNm)	V (kN)
1π	0,00	0,00	-10,24
1κ	5,00	-51,22	-10,24
2π	5,00	-51,22	17,03
2κ	8,00	-0,12	17,03
3π	8,00	-0,12	-29,25
3κ	11,00	-87,88	-29,25
4π	11,00	-87,88	-46,56
4κ	14,00	-227,57	-46,56
5π	14,00	-227,57	-112,06
5κ	17,00	-563,76	-112,06
6π	17,00	-563,76	-186,37
6κ	20,00	-1122,86	-186,37
7π	20,00	-1122,86	95,90
7κ	23,00	-835,16	95,90
8π	23,00	-835,16	132,54
8κ	26,00	-437,53	132,54
9π	26,00	-437,53	137,18
9κ	29,00	-26,01	137,18
10π	29,00	0,16	-0,16
10κ	30,00	0,00	-0,16



φορτίο 1ου	F=	250,39 kN
φορτίο 2ου	F=	275,35 kN
φορτίο 3ου	F=	307,59 kN

3η φ. τ.	z=	20,00 m
----------	----	---------

	z (m)	U (mm)	R (mrad)
1π	0,00	-46,052	-2,265
1κ	5,00	-34,745	-2,249
2π	5,00	-34,745	-2,249
2κ	8,00	-28,023	-2,238
3π	8,00	-28,023	-2,238
3κ	11,00	-21,325	-2,217
4π	11,00	-21,325	-2,217
4κ	14,00	-14,799	-2,117
5π	14,00	-14,799	-2,117
5κ	17,00	-8,783	-1,854
6π	17,00	-8,783	-1,854
6κ	20,00	-3,984	-1,280
7π	20,00	-3,984	-1,280
7κ	23,00	-1,215	-0,599
8π	23,00	-1,215	-0,599
8κ	26,00	-0,154	-0,155
9π	26,00	-0,154	-0,155
9κ	29,00	-0,001	0,006
10π	29,00	-0,001	0,006
10κ	30,00	-0,007	0,006



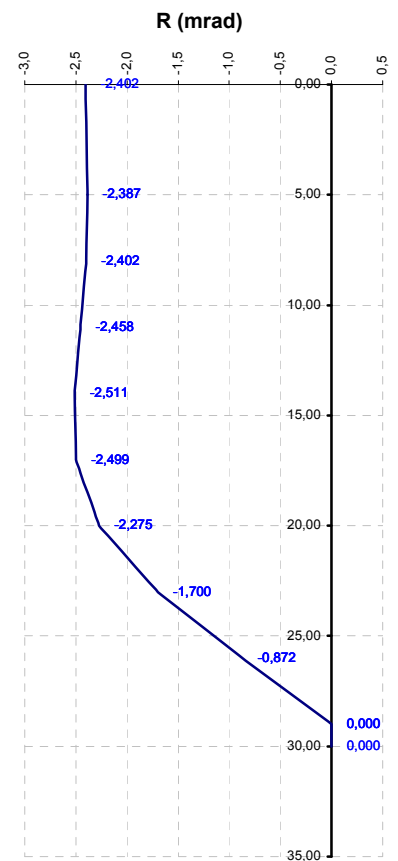
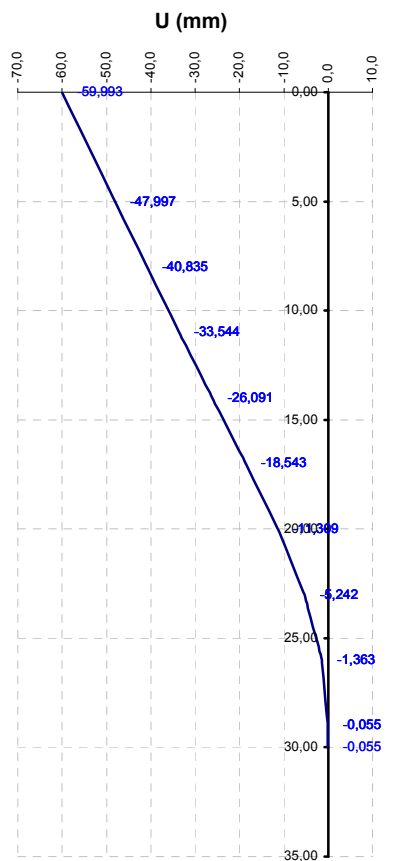
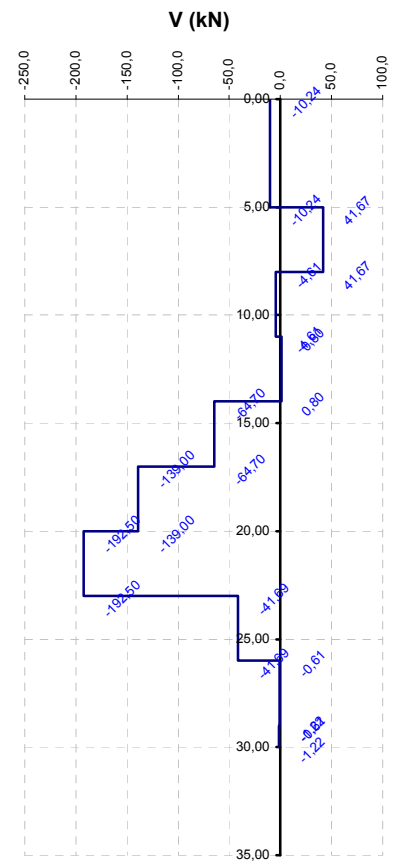
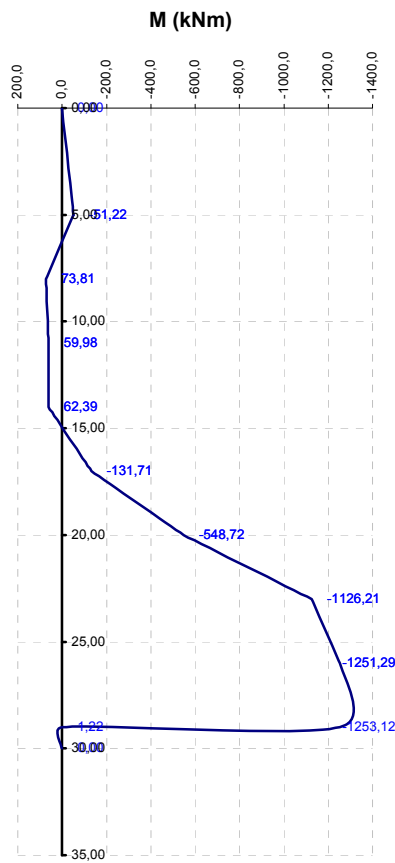
Εντατικά μεγέθη διαφράγματος για την 4η φάση εκσκαφής

	z (m)	M (kNm)	V (kN)
1π	0,00	0,00	-10,24
1κ	5,00	-51,22	-10,24
2π	5,00	-51,22	41,67
2κ	8,00	73,81	41,67
3π	8,00	73,81	-4,61
3κ	11,00	59,98	-4,61
4π	11,00	59,98	0,80
4κ	14,00	62,39	0,80
5π	14,00	62,39	-64,70
5κ	17,00	-131,71	-64,70
6π	17,00	-131,71	-139,00
6κ	20,00	-548,72	-139,00
7π	20,00	-548,72	-192,50
7κ	23,00	-1126,21	-192,50
8π	23,00	-1126,21	-41,69
8κ	26,00	-1251,29	-41,69
9π	26,00	-1251,29	-0,61
9κ	29,00	-1253,12	-0,61
10π	29,00	1,22	-1,22
10κ	30,00	0,00	-1,22

φορτίο 1ου	F=	225,75 kN
φορτίο 2ου	F=	252,62 kN
φορτίο 3ου	F=	293,97 kN

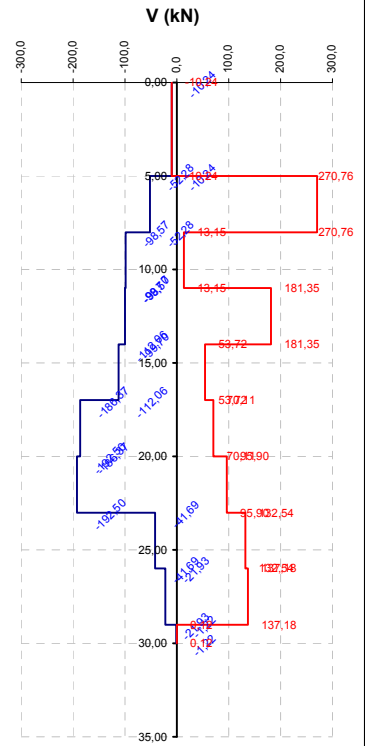
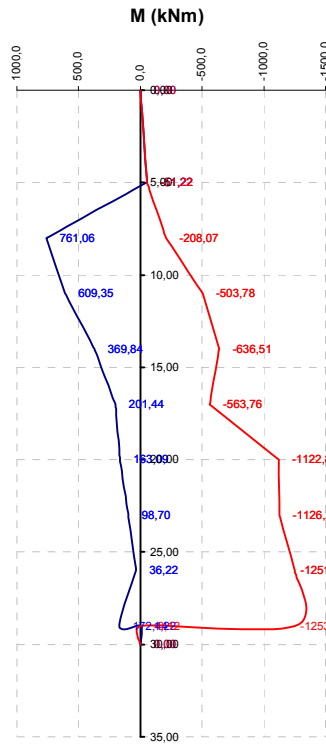
4η φ. εκ.	z=	22,00 m
-----------	----	---------

	z (m)	U (mm)	R (mrad)
1π	0,00	-59,993	-2,402
1κ	5,00	-47,997	-2,387
2π	5,00	-47,997	-2,387
2κ	8,00	-40,835	-2,402
3π	8,00	-40,835	-2,402
3κ	11,00	-33,544	-2,458
4π	11,00	-33,544	-2,458
4κ	14,00	-26,091	-2,511
5π	14,00	-26,091	-2,511
5κ	17,00	-18,543	-2,499
6π	17,00	-18,543	-2,499
6κ	20,00	-11,309	-2,275
7π	20,00	-11,309	-2,275
7κ	23,00	-5,242	-1,700
8π	23,00	-5,242	-1,700
8κ	26,00	-1,363	-0,872
9π	26,00	-1,363	-0,872
9κ	29,00	-0,055	0,000
10π	29,00	-0,055	0,000
10κ	30,00	-0,055	0,000



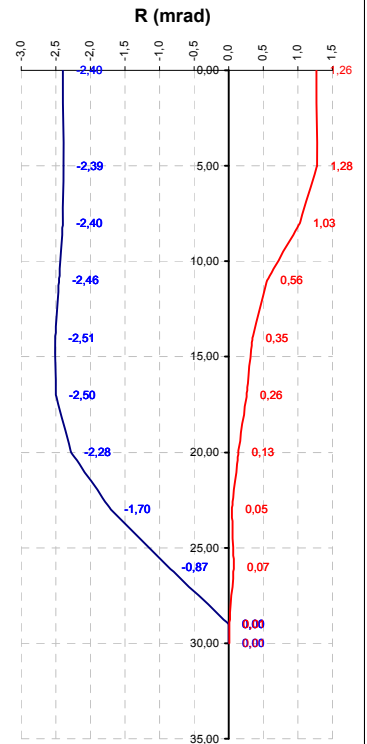
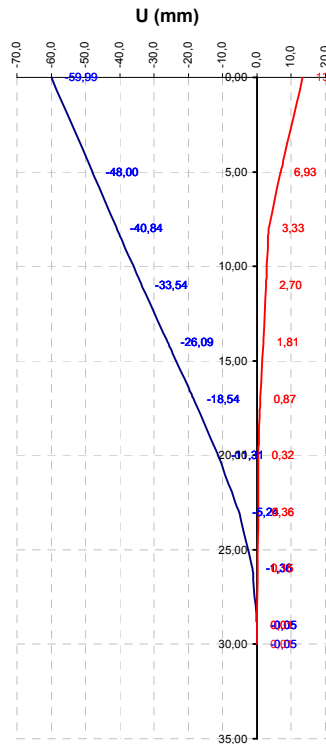
Περιβάλλουσα Εντατικών μεγεθών διαφράγματος (χωρίς σεισμό)

	z (m)	M (kNm)		V (kN)	
1π	0,00	0,00	0,00	-10,24	-10,24
1κ	5,00	-51,22	-51,22	-10,24	-10,24
2π	5,00	-51,22	-51,22	270,76	-52,28
2κ	8,00	761,06	-208,07	270,76	-52,28
3π	8,00	761,06	-208,07	13,15	-98,57
3κ	11,00	609,35	-503,78	13,15	-98,57
4π	11,00	609,35	-503,78	181,35	-99,70
4κ	14,00	369,84	-636,51	181,35	-99,70
5π	14,00	369,84	-636,51	53,72	-112,06
5κ	17,00	201,44	-563,76	53,72	-112,06
6π	17,00	201,44	-563,76	70,11	-186,37
6κ	20,00	163,09	-1122,86	70,11	-186,37
7π	20,00	163,09	-1122,86	95,90	-192,50
7κ	23,00	98,70	-1126,21	95,90	-192,50
8π	23,00	98,70	-1126,21	132,54	-41,69
8κ	26,00	36,22	-1251,29	132,54	-41,69
9π	26,00	36,22	-1251,29	137,18	-21,93
9κ	29,00	172,44	-1253,12	137,18	-21,93
10π	29,00	1,22	-0,12	0,12	-1,22
10κ	30,00	0,00	0,00	0,12	-1,22



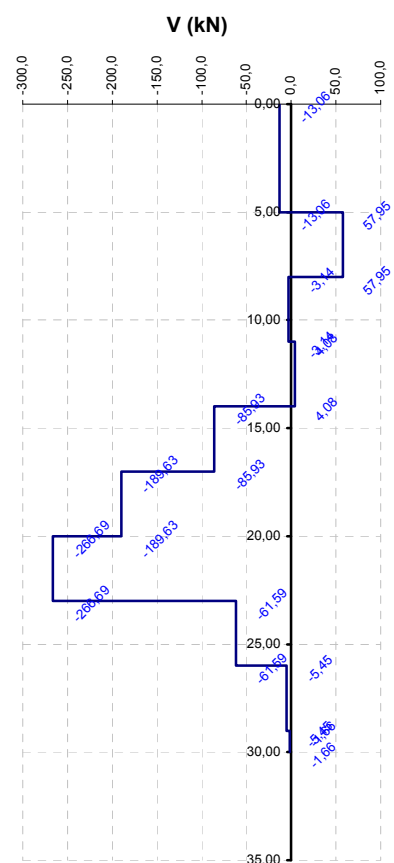
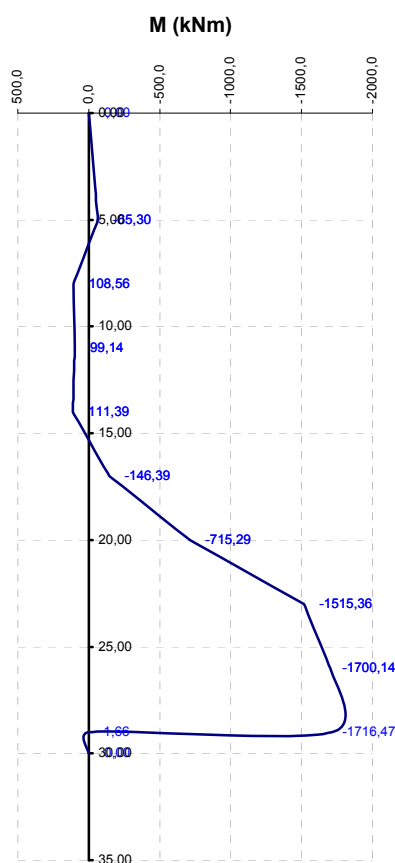
φορτίο 1ου	F=	327,89 kN
φορτίο 2ου	F=	320,03 kN
φορτίο 3ου	F=	307,59 kN

	z (m)	U (mm)		R (mrad)	
1π	0,00	13,27	-59,99	1,26	-2,40
1κ	5,00	6,93	-48,00	1,28	-2,39
2π	5,00	6,93	-48,00	1,28	-2,39
2κ	8,00	3,33	-40,84	1,03	-2,40
3π	8,00	3,33	-40,84	1,03	-2,40
3κ	11,00	2,70	-33,54	0,56	-2,46
4π	11,00	2,70	-33,54	0,56	-2,46
4κ	14,00	1,81	-26,09	0,35	-2,51
5π	14,00	1,81	-26,09	0,35	-2,51
5κ	17,00	0,87	-18,54	0,26	-2,50
6π	17,00	0,87	-18,54	0,26	-2,50
6κ	20,00	0,32	-11,31	0,13	-2,28
7π	20,00	0,32	-11,31	0,13	-2,28
7κ	23,00	0,36	-5,24	0,05	-1,70
8π	23,00	0,36	-5,24	0,05	-1,70
8κ	26,00	0,15	-1,36	0,07	-0,87
9π	26,00	0,15	-1,36	0,07	-0,87
9κ	29,00	0,01	-0,05	0,01	0,00
10π	29,00	0,01	-0,05	0,01	0,00
10κ	30,00	0,01	-0,05	0,01	0,00



Τελική φάση κατασκευής διαφράγματος (με σεισμό)

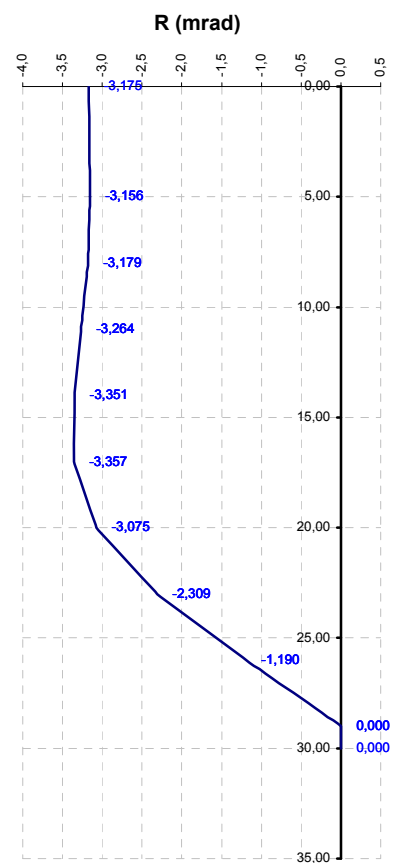
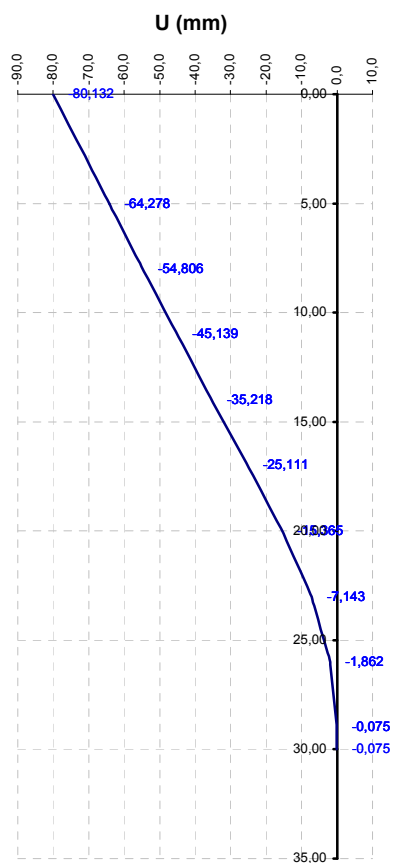
	z (m)	M (kNm)	V (kN)
1π	0,00	0,00	-13,06
1κ	5,00	-65,30	-13,06
2π	5,00	-65,30	57,95
2κ	8,00	108,56	57,95
3π	8,00	108,56	-3,14
3κ	11,00	99,14	-3,14
4π	11,00	99,14	4,08
4κ	14,00	111,39	4,08
5π	14,00	111,39	-85,93
5κ	17,00	-146,39	-85,93
6π	17,00	-146,39	-189,63
6κ	20,00	-715,29	-189,63
7π	20,00	-715,29	-266,69
7κ	23,00	-1515,36	-266,69
8π	23,00	-1515,36	-61,59
8κ	26,00	-1700,14	-61,59
9π	26,00	-1700,14	-5,45
9κ	29,00	-1716,47	-5,45
10π	29,00	1,66	-1,66
10κ	30,00	0,00	-1,66



φορτίο 1ου	F=	195,47 kN
φορτίο 2ου	F=	231,06 kN
φορτίο 3ου	F=	286,43 kN

4η φ. εκ.	z=	22,00 m
-----------	----	---------

	z (m)	U (mm)	R (mrad)
1π	0,00	-80,132	-3,175
1κ	5,00	-64,278	-3,156
2π	5,00	-64,278	-3,156
2κ	8,00	-54,806	-3,179
3π	8,00	-54,806	-3,179
3κ	11,00	-45,139	-3,264
4π	11,00	-45,139	-3,264
4κ	14,00	-35,218	-3,351
5π	14,00	-35,218	-3,351
5κ	17,00	-25,111	-3,357
6π	17,00	-25,111	-3,357
6κ	20,00	-15,365	-3,075
7π	20,00	-15,365	-3,075
7κ	23,00	-7,143	-2,309
8π	23,00	-7,143	-2,309
8κ	26,00	-1,862	-1,190
9π	26,00	-1,862	-1,190
9κ	29,00	-0,075	0,000
10π	29,00	-0,075	0,000
10κ	30,00	-0,075	0,000



Ελάχιστος και Τοποθετούμενος οπλισμός

$A_{s,min}$	Φ (mm)	s (cm)	$A_{s,τοπ}$	σκέλη/ m	Φ (mm)	s (cm)	$A_{s,τοπ}$
4,88	25	9,0	54,54	κατακόρυφος οπλισμός	1,0	10	30,0
							2,62
							διάτμηση

Φ (mm)	s (cm)	$A_{s,τοπ}$
12	20,0	5,65
		οριζόντιος οπλισμός

Οριακή καμπτική αντοχή M_{Rd}

maxM	max[V]	max[N]	ϵ_c (%o)	$\Delta\epsilon_s$ (%o)	α	ξ	$x=\xi*d$	F_c (kN)	F_{S1} (kN)	F_{S2} (kN)	$\Sigma F > 0.00$	έλεγχος ισορροπίας δυνάμεων	M_R (kNm)	$M_R > M_{Sd}$
1716,47	270,76	600,00	1,463	10,000	0,553	0,128	0,096	600,06	2371,37	2371,37	0,06	κρίσιμος χάλυβας, μειώνετε ϵ_c	1871,27	ok

Οριακή διατμητική αντοχή V_{Rd}

maxM	max[V]	max[N]	$V_{Rd,max(21.8)}$	$V_{Rd,max(45)}$	$V_{Rd,max}$	$V_{Rd,S(21.8)}$	$V_{Rd,S(45)}$	$V_{Rd,S}$	$V_{Rd,all}$	$V_{Rd,all} > V_{Sd}$
				$v=0.60(1-f_{ck}/250)[\geq 0.5]=$	0,552					
1716,47	270,76	600,00	684,52	994,09	684,52	4007,57	1601,95	1601,95	2286,47	ok

Σχέδιο όπλισης

